

УДК 535.41

## МЕТОД РАСЧЕТА ХАРАКТЕРИСТИК РАЗРУШЕНИЯ МАТЕРИАЛОВ НА ОСНОВЕ ИНВАРИАНТНЫХ РЕШЕНИЙ УРАВНЕНИЙ В ЧАСТНЫХ ПРОИЗВОДНЫХ

Г. В. Дружинин, Ф. К. Смородин

Казанский национальный исследовательский технический университет  
им. А. Н. Туполева, 420111 Казань  
E-mail: tsmorodina@mail.ru

На основе инвариантного  $H_2$ -решения получено аналитическое решение редуцированной задачи о плавлении кристаллического материала. Выведена формула, определяющая унос массы материала в расплавленном виде в окрестности критической точки.

**Ключевые слова:** газовый поток, тепловое воздействие, плавление, унос массы, тепловая защита, радиационное излучение, подгруппа, дифференциальное уравнение.

**Введение.** Проблема тепловой защиты в ракетно-космической технике исследуется при решении задач гиперзвукового полета в атмосфере для значений числа Маха  $M > 6$ , при которых температура торможения в газовом потоке превышает 1500 К. Поскольку тепловое воздействие может сопровождаться механическими, окислительными и эрозионными процессами, разрушение конструкции возможно при существенно меньших температурах.

Существуют следующие способы отвода тепла: теплопроводность, конвекция, массообмен, радиационное излучение, электромагнитные поля и физико-химические превращения в защитном материале. Каждый из этих способов или их комбинации могут быть использованы в качестве различных методов защиты. Среди указанных методов защиты наиболее широко применяются пористое охлаждение и разрушающаяся тепловая защита.

Существенным преимуществом разрушающихся теплозащитных материалов и покрытий является саморегулирование процесса, т. е. изменение тепловой нагрузки. При этом процессы разрушения сопровождаются фазовыми и химическими превращениями, а также уносом в набегающий поток испаряющихся продуктов разрушения. Таким образом, происходит потеря поверхностного слоя теплозащитного материала, в результате чего сохраняется требуемый тепловой режим для внутренних слоев и защищаемой конструкции. Этот способ используется, например, для защиты баллистических ракет дальнего действия, космических аппаратов, камер сгорания ракетных двигателей.

Таким образом, разработка новых более точных методов расчета разрушения теплозащитных материалов и покрытий является актуальной задачей.

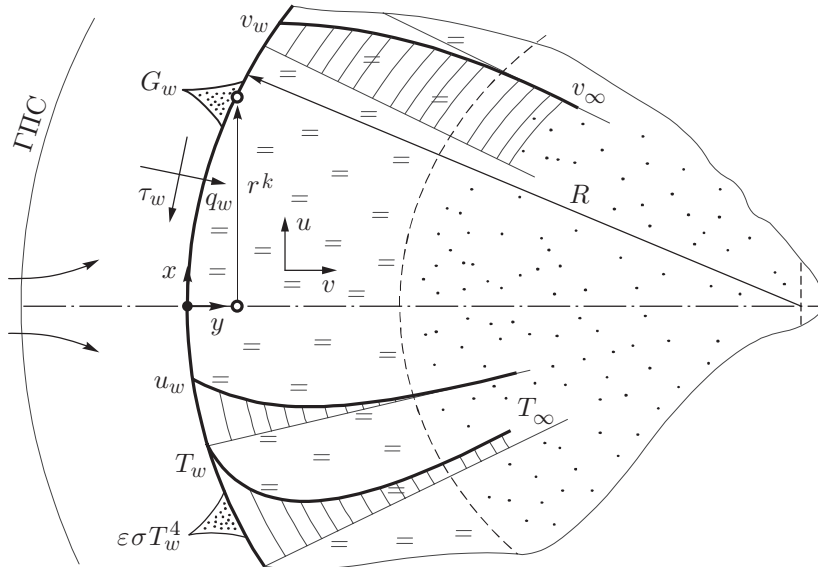


Рис. 1. Схема течения пленки расплава аморфного материала в потоке газа (ГПС — газовый пограничный слой)

**1. Постановка задачи.** Уравнения пограничного слоя, которые достаточно точно моделируют течение вязких несжимаемых жидкостей (система координат связывается с поверхностью тела), имеют вид [1]

$$\begin{aligned} \frac{\partial}{\partial x} (r^k u) + \frac{\partial}{\partial y} (r^k v) &= 0, \\ \rho u \frac{\partial u}{\partial x} + \rho v \frac{\partial u}{\partial y} + F &= \frac{\partial}{\partial y} \left( \mu \frac{\partial u}{\partial y} \right), \\ \rho c \left( u \frac{\partial T}{\partial x} + v \frac{\partial T}{\partial y} \right) &= \frac{\partial}{\partial y} \left( \lambda \frac{\partial T}{\partial y} \right), \end{aligned} \quad (1.1)$$

где  $u$ ,  $v$  — продольная и поперечная составляющие скорости;  $F = dP_e/dx - N$ ;  $P_e$  — статическое давление на внешней границе пограничного слоя;  $N(x)$  — касательная составляющая инерционных сил;  $\lambda$  — теплопроводность;  $\mu$  — динамическая вязкость;  $c$  — удельная теплоемкость пленки расплава при постоянном давлении;  $\rho$  — плотность;  $T$  — абсолютная температура;  $r^k$  — расстояние от оси симметрии до рассматриваемой точки жидкой пленки (для плоского течения  $k = 0$ , для осесимметричного —  $k = 1$ );  $F$ ,  $r^k$  — функции независимой переменной  $x$ ;  $\mu$ ,  $\lambda$ ,  $c$  — функции температуры.

Рассматривается задача обтекания гиперзвуковым вязким потоком газа тел, на поверхности которых под воздействием теплового потока, градиента давления и трения образуется движущаяся пленка расплава.

Модель процесса разрушения (оплавления) аморфного материала в высокотемпературном газовом потоке, обтекающем окрестность точки торможения затупленного тела, представлена на рис. 1. При решении задачи об оплавлении принимаются следующие допущения: 1) уравнения, описывающие движение пленки расплава, решаются отдельно от уравнений движения газа, обтекающего тело; 2) влияние движения расплава на течение в пограничном слое газового потока не учитывается; 3) значения теплового потока и трения на поверхности раздела газ — жидкая пленка принимаются такими же, как на аналогичной неподвижной поверхности с учетом поправки на вдув продуктов испарения; 4) в уравне-

ниях (1.1) пренебрегается инерционными составляющими  $u (\partial u / \partial x)$ ,  $v (\partial u / \partial y)$ , скорость изменения формы оплавающегося тела считается незначительной.

Допущения 1–4 принимаются вследствие того, что вязкость расплава значительно больше вязкости газа и скорость движения пленки много меньше скорости движения газа [2]. С учетом данных допущений система уравнений, описывающих установившееся движение пленки расплава, в системе координат, связанной с поверхностью раздела газ — жидкая пленка, принимает следующий вид:

$$\begin{aligned} \frac{\partial}{\partial x} (r^k u) + \frac{\partial}{\partial y} (r^k v) &= 0, \\ \frac{\partial}{\partial y} \left( \mu \frac{\partial u}{\partial y} \right) &= \frac{dP_e}{dx} - N \equiv F, \\ \rho c \left( u \frac{\partial T}{\partial x} + v \frac{\partial T}{\partial y} \right) &= \frac{\partial}{\partial y} \left( \lambda \frac{\partial T}{\partial y} \right). \end{aligned} \quad (1.2)$$

Система уравнений (1.2) замыкается соответствующей системой граничных условий

$$\begin{aligned} y = 0: \quad - \left( \lambda \frac{\partial T}{\partial y} \right)_w - G_w \Delta Q_w + \varepsilon \sigma T_w^4 &= \left( \frac{\alpha}{c_p} \right)_w (J_e - J_w), \\ (\rho v)_w &= -G_w, \\ \left( \frac{\partial u}{\partial y} \right)_w &= - \frac{\tau_w}{\mu_w(T_w)}, \\ y \rightarrow \infty: \quad T &\rightarrow T_\infty, \quad u \rightarrow 0, \end{aligned} \quad (1.3)$$

где  $\alpha$  — коэффициент теплоотдачи;  $G_w = (\alpha/c_p)_w f(T_w, P_e)$  — массовая скорость испарения;  $\Delta Q_w$  — суммарный тепловой эффект испарения;  $\varepsilon$  — коэффициент, учитывающий степень черноты разрушающейся поверхности;  $\sigma$  — постоянная Стефана — Больцмана;  $J_e - J_w$  — перепад энтальпии в пограничном слое;  $(\alpha/c_p)_w$  — коэффициент конвективного теплообмена, учитывающий вдув продуктов испарения;  $\tau_w$  — касательное напряжение на поверхности тела; индекс  $e$  соответствует внешней границе пограничного слоя, индекс  $w$  — условию на поверхности, индекс “ $\infty$ ” — невозмущенному потоку или непрогретому материалу.

В основу математической модели (1.2), (1.3), базирующейся на уравнениях пограничного слоя (1.1), положены общепринятые допущения [3, 4].

Для материалов с четко выраженной температурой плавления (при тех же допущениях, что и в задаче (1.2), (1.3)), предлагается следующая математическая модель (при  $y = 0$  граничные условия сохраняются):

$$\begin{aligned} \frac{\partial}{\partial x} (r^k u) + \frac{\partial}{\partial y} (r^k v) &= 0 \quad (0 < x < l, \quad 0 < y < \delta), \\ \frac{\partial}{\partial y} \left( \mu \frac{\partial u}{\partial y} \right) &= \frac{dP_e}{dx} - N \equiv F, \\ \rho c \left( u \frac{\partial T}{\partial x} + v \frac{\partial T}{\partial y} \right) &= \frac{\partial}{\partial y} \left( \lambda \frac{\partial T}{\partial y} \right), \quad \rho_1 c_1 v_m \left( \frac{\partial T_1}{\partial y} \right) = \frac{\partial}{\partial y} \left( \lambda_1 \frac{\partial T_1}{\partial y} \right); \end{aligned} \quad (1.4)$$

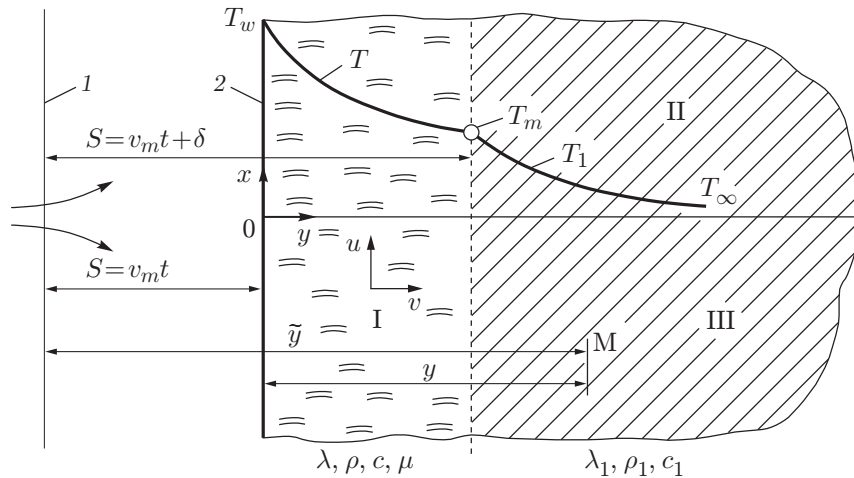


Рис. 2. Схема плавления кристаллического материала:

1 — положение поверхности тела в момент выхода на квазистационарный режим разрушения; 2 — текущее положение разрушающейся поверхности; 0 — точка торможения; I — жидкий расплав, II — исходный материал, III — зона разложения

$$y = \delta: \quad \left( \lambda \frac{\partial T}{\partial y} \right)_{\delta-0} = \left( \lambda_1 \frac{\partial T_1}{\partial y} \right)_{\delta+0} + H \rho_1 v_m(x, \delta),$$

$$u = 0, \quad (T)_{\delta-0} = (T_1)_{\delta+0} \equiv T_m,$$

$$y \rightarrow \infty: \quad T_1 \rightarrow T_\infty.$$

Здесь  $\delta$  — толщина пленки расплава;  $H$  — удельная теплота плавления материала;  $T_m$  — температура плавления;  $v_m(x, \delta)$  — скорость плавления тела, которая заранее неизвестна; нижний индекс 1 соответствует исходному твердому материалу.

Модель процесса разрушения (плавления) материала в окрестности точки торможения затупленного тела при квазистационарном разрушении показана на рис. 2 ( $y = \tilde{y} - v_m t$ ;  $\tilde{y}$  — расстояние от начального положения поверхности тела до произвольной точки разрушающегося материала;  $t$  — время).

В работе [5] найдена подгруппа  $H_2$  с оператором  $\langle X_2 \rangle$ , на которой можно построить все автомодельные решения уравнений стационарного пограничного слоя в качестве частного случая. Автомодельное решение является частным случаем инвариантного решения, и это решение (в узком смысле) строится на группе растяжения. Инвариантное решение системы дифференциальных уравнений называется автомодельным (в широком смысле), если допускаемая группа этой системы является абелевой [6].

Оператор  $X_2$  имеет вид

$$X_2 = \omega \chi \frac{\partial}{\partial x} - \frac{y}{4} (\alpha \omega \chi - 1) \frac{\partial}{\partial y} + \frac{u}{2} [(\alpha - 2\varphi) \omega \chi + 1] \frac{\partial}{\partial u} - \left[ \frac{uy}{4} [(\alpha' - \varphi \alpha) \omega \chi + \alpha] - \frac{v}{4} (\alpha \omega \chi - 1) \right] \frac{\partial}{\partial v}, \quad (1.5)$$

где

$$\omega = \exp\left(-\int \varphi dx\right), \quad \chi = \int \exp\left(\int \varphi dx\right) dx, \quad \alpha = \varphi + Q, \quad \alpha' = \varphi' + Q',$$

$$\varphi = \frac{Q}{3} + \frac{4R_r}{3}, \quad Q = \frac{F'}{F}, \quad R_r = \frac{(r^k)'}{r^k}. \quad (1.6)$$

Первые интегралы определим из системы уравнений

$$\frac{dx}{\omega\chi} = \frac{4 dy}{-y(\omega\chi\alpha - 1)} = \frac{2 du}{[(\alpha - 2\varphi)\omega\chi + 1]u} =$$

$$= \frac{4 dv}{-uy[(\alpha' - \varphi\alpha)\omega\chi + \alpha] + v(\alpha\omega\chi - 1)} = \frac{dT}{0}, \quad (1.7)$$

$$C_1 = y \exp\left(\frac{1}{4} \int \left(\alpha - \frac{1}{\omega\chi}\right) dx\right), \quad C_2 = u \exp\left(-\frac{1}{2} \int \left(\alpha - 2\varphi + \frac{1}{\omega\chi}\right) dx\right), \quad C_4 = T.$$

Третий интеграл находим из уравнения

$$\frac{dv}{dx} = -\frac{uy}{4} \left[ (\alpha' - \alpha\varphi) + \frac{\alpha}{\omega\chi} \right] + \frac{v}{4} \left( \alpha - \frac{1}{\omega\chi} \right). \quad (1.8)$$

Подставляя  $u$ ,  $y$  из выражений (1.7) в уравнение (1.8), получаем

$$\frac{dv}{dx} - \frac{v}{4} \left( \alpha - \frac{1}{\omega\chi} \right) = -\frac{1}{4} C_1 \exp\left(-\frac{1}{4} \int \left(\alpha - \frac{1}{\omega\chi}\right) dx\right) \times$$

$$\times C_2 \exp\left(\frac{1}{2} \int \left(\alpha - 2\varphi + \frac{1}{\omega\chi}\right) dx\right) \left( \alpha' - \alpha\varphi + \frac{\alpha}{\omega\chi} \right). \quad (1.9)$$

Интегрируя уравнение (1.9), находим

$$v = \exp\left(\frac{1}{4} \int \left(\alpha - \frac{1}{\omega\chi}\right) dx\right) \left[ C_3 - \frac{C_1 C_2}{4} \int \exp\left(\int \left(\frac{1}{\omega\chi} - \varphi\right) dx\right) \left( \alpha' - \alpha\varphi + \frac{\alpha}{\omega\chi} \right) dx \right].$$

Проинтегрировав по частям второе выражение в квадратных скобках, получаем искомое решение

$$v = \exp\left(\frac{1}{4} \int \left(\alpha - \frac{1}{\omega\chi}\right) dx\right) \left[ C_3 - \frac{C_1 C_2}{4} \alpha \exp\left(-\int \left(\frac{1}{\omega\chi} - \varphi\right) dx\right) \right]. \quad (1.10)$$

С учетом (1.6), (1.7), (1.10)  $H_2$ -решение запишем в виде

$$u = J_1(z) \exp\left(\frac{1}{2} \int \left(\alpha - 2\varphi + \frac{1}{\omega\chi}\right) dx\right),$$

$$v = \exp\left(\frac{1}{4} \int \left(\alpha - \frac{1}{\omega\chi}\right) dx\right) \left[ J_2(z) - \frac{z J_1(z)}{4} \alpha \exp\left(\int \left(\frac{1}{\omega\chi} - \varphi\right) dx\right) \right], \quad (1.11)$$

$$T = J_3(z),$$

где  $z = y \exp\left(\frac{1}{4} \int \left(\alpha - \frac{1}{\omega\chi}\right) dx\right)$ .

С учетом (1.6)  $H_2$ -решение (1.11) можно представить в виде

$$u = |F|^{1/3} |r^k|^{-2/3} \left( \int_0^x |F|^{1/3} |r^k|^{4/3} dt \right)^{1/2} J_1(z), \quad T = J_3(z),$$

$$v = |F|^{1/3} |r^k|^{1/3} \left( \int_0^x |F|^{1/3} |r^k|^{4/3} dt \right)^{-1/4} J_2(z) -$$

$$- \frac{J_1(z)z}{3} \left( \frac{F'}{F} + \frac{(r^k)'}{r^k} \right) \frac{1}{|F|^{1/3} |r^k|^{4/3}} \int_0^x |F|^{1/3} |r^k|^{4/3} dt,$$

где

$$z = y |F r^k|^{1/3} \left( \int_0^x |F|^{1/3} |r^k|^{4/3} dt \right)^{-1/4}.$$

Нетрудно убедиться, что, подставляя в оператор (1.5) значения  $u_e = u_1 x^n$ ,  $k = 0$  (плоский случай),  $N = 0$ , можно получить следующий оператор растяжения (на котором строится автомодельное решение):

$$X'_2 = \frac{3x}{2(n+1)} \frac{\partial}{\partial x} - \frac{3y(n-1)}{4(n+1)} \frac{\partial}{\partial y} + \frac{3nu}{2(n+1)} \frac{\partial}{\partial u} + \frac{3v(n-1)}{4(n+1)} \frac{\partial}{\partial v}.$$

Решение  $H'_2$ , построенное с помощью оператора  $X'_2$ , будем искать в виде

$$u = x^n J_1(z), \quad v = x^{(n-1)/2} J_2(z), \quad T = J_3(z), \quad (1.13)$$

где  $z = yx^{(n-1)/2}$ .

Решение (1.13) представляет собой известное автомодельное решение, которое допускает физическую интерпретацию [1], а именно обтекание жидкостью (газом) клиновидного тела вблизи критической точки.

**2. Редукция дифференциальных уравнений для аморфного материала.** С использованием подгруппы  $H_2$  с оператором  $X_2$  сведем систему (1.2) к системе обыкновенных дифференциальных уравнений. Выбор этой подгруппы обусловлен тем, что на ней можно построить  $H_2$ -решение, которое обобщает известные классические автомодельные решения. При редукции исходной системы к системе обыкновенных дифференциальных уравнений теплофизические характеристики материала  $\mu(T)$ ,  $\lambda(T)$ ,  $c(T)$  и функции, определяющие форму тела  $dP_e/dx$ ,  $r^k(x)$ , а также касательная составляющая инерционных сил  $N(x)$  считаются произвольно заданными.

Запишем  $H_2$ -решение (1.12) следующим образом:

$$u = (\chi\omega\beta F)^{1/2} \Phi(\xi),$$

$$v = \left( \frac{\beta F}{\omega\chi} \right)^{1/4} \Omega(\xi) - \frac{(\chi\omega\beta F)^{1/2}}{4} \left( \frac{\omega\chi}{\beta F} \right)^{1/4} \xi \alpha \Phi(\xi),$$

$$T = J_3(\xi).$$

Здесь

$$\xi = \left( \frac{\beta F}{\omega\chi} \right)^{1/4} y, \quad \alpha = \frac{4F'}{3F} + \frac{4(r^k)'}{3r^k}, \quad \omega\chi = \frac{1}{|F|^{1/3} |r^k|^{4/3}} \int_0^x |F|^{1/3} |r^k|^{4/3} dt.$$

Подставляя  $H_2$ -решение в уравнения (1.2), получаем

$$\frac{\Phi}{2} - \frac{\xi}{4} \frac{d\Phi}{d\xi} + \frac{d\Omega}{d\xi} = 0, \quad \frac{d}{d\xi} \left( \mu \frac{d\Phi}{d\xi} \right) = \frac{1}{\beta}, \quad \left( \Omega - \frac{\xi\Phi}{4} \right) \frac{dJ_3}{d\xi} = \frac{d}{d\xi} \left( a \frac{dJ_3}{d\xi} \right), \quad (2.1)$$

где  $1/\beta = -1$  при  $F < 0$ ,  $1/\beta = 1$  при  $F > 0$ .

Значение  $\beta = -1$  при  $N = 0$  соответствует “конфузорному” участку (с возрастающей вниз по потоку течения толщиной жидкой пленки), значение  $\beta = 1$  — “диффузорному” участку.

Принимая в качестве масштабов скалярных величин  $\xi$ ,  $\Phi$ ,  $\Omega$ ,  $T$  не определенные пока постоянные величины  $\xi$ ,  $\Phi^0$ ,  $\Omega^0$ ,  $a^0$ ,  $\mu^* T^*$ , приведем систему (2.1) к безразмерной форме:

$$\bar{\xi} = \frac{\xi}{\xi^0}, \quad \bar{\Phi} = \frac{\Phi}{\Phi^0}, \quad \bar{\Omega} = \frac{\Omega}{\Omega^0}, \quad \bar{\theta} = \frac{T - T_\infty}{T^*}, \quad \bar{\mu} = \frac{\mu}{\mu^*}, \quad \bar{a} = \frac{a}{a^0},$$

где черта сверху соответствует безразмерным переменным;  $\mu^*$  — вязкость расплава при некоторой температуре  $T^*$ ;  $a = \lambda/(\rho c)$  — температуропроводность;  $T_\infty$  — температура в непрогретом материале. Тогда система (1.1) принимает вид

$$\begin{aligned} \frac{\bar{\Phi}}{2} - \frac{\bar{\xi}}{4} \frac{d\bar{\Phi}}{d\bar{\xi}} + \frac{\Omega^0}{\xi^0 \Phi^0} \frac{d\bar{\Omega}}{d\bar{\xi}} = 0, \quad \frac{d}{d\bar{\xi}} \left( \bar{\mu} \frac{d\bar{\Phi}}{d\bar{\xi}} \right) \left( \frac{\Phi^0 \mu^*}{(\xi^0)^2} \right) = \frac{1}{\beta}, \\ \left[ \bar{\Omega} - \frac{\bar{\xi} \bar{\Phi}}{4} \frac{\Omega^0}{\xi^0 \Phi^0} \right] \frac{d\bar{\theta}}{d\bar{\xi}} = \frac{a^0}{\xi^0 \Omega^0} \frac{d}{d\bar{\xi}} \left( \bar{a} \frac{d\bar{\theta}}{d\bar{\xi}} \right). \end{aligned}$$

Полагая

$$\frac{\Omega^0}{\xi^0 \Phi^0} = 1, \quad \frac{a^0}{\xi^0 \Omega^0} = 1, \quad \frac{\Phi^0 \mu^*}{(\xi^0)^2} = 1$$

и выражая эти параметры через  $a^0$  и  $\mu^*$ , получаем

$$\Phi^0 = \left( \frac{a^0}{\mu^*} \right)^{1/2}, \quad \Omega^0 = \frac{(a^0)^{3/4}}{(\mu^*)^{1/4}}, \quad \xi^0 = (a^0 \mu^*)^{1/4}.$$

С учетом этого  $H_2$ -решение запишем в виде

$$\begin{aligned} u &= (\beta \bar{\omega} \bar{\chi} \bar{F})^{1/2} \left( \frac{a P_{e0}}{\mu^*} \right)^{1/2} \bar{\Phi}(\bar{\xi}), \\ v &= \frac{(a^0)^{3/4}}{(\mu^*)^{1/4}} \left( \frac{P_{e0}}{R^2} \right)^{1/4} \left[ \left( \frac{\beta \bar{F}}{\bar{\omega} \bar{\chi}} \right)^{1/4} \bar{\Omega}(\bar{\xi}) - \frac{(\bar{\omega} \bar{\chi} \beta \bar{F})^{1/2}}{4} \left( \frac{\bar{\omega} \bar{\chi}}{\beta \bar{F}} \right)^{1/4} \bar{\xi} \bar{\alpha} \bar{\Phi}(\bar{\xi}) \right], \\ T &= T^* \bar{\theta} + T_\infty, \end{aligned} \quad (2.2)$$

где

$$\bar{\omega} \bar{\chi} = \frac{\omega \chi}{R} = \frac{1}{|\bar{F}|^{1/3} |\bar{r}^k|^{4/3}} \int_0^{\bar{x}} |\bar{F}|^{1/3} |\bar{r}^k|^{4/3} d\bar{t}, \quad \bar{r}^k = \frac{r^k}{R}, \quad \bar{\alpha} = \frac{4}{3} \left( \frac{\bar{F}'''}{\bar{F}} + \frac{(\bar{r}^k)'}{\bar{r}^k} \right).$$

С учетом наличия пленки расплава и твердого материала (см. рис. 2) редуцированные дифференциальные уравнения (1.4) в окрестности точки торможения принимают вид

$$\begin{aligned} \frac{\bar{\Phi}}{2} - \frac{\bar{\xi}}{4} \frac{d\bar{\Phi}}{d\bar{\xi}} + \frac{d\bar{\Omega}}{d\bar{\xi}} = 0, \quad \frac{d}{d\bar{\xi}} \left( \mu \frac{d\Phi}{d\xi} \right) = \frac{1}{\beta}, \\ \left( \bar{\Omega} - \frac{1}{4} \bar{\xi} \bar{\Phi} \right) \frac{d\bar{\theta}}{d\bar{\xi}} = \frac{d}{d\bar{\xi}} \left( \bar{a} \frac{d\bar{\theta}}{d\bar{\xi}} \right), \\ \bar{\Omega}_m \frac{d\bar{\theta}_1}{d\bar{\xi}} = \frac{d}{d\bar{\xi}} \left( \bar{a}_1 \frac{d\bar{\theta}_1}{d\bar{\xi}} \right), \quad \bar{\xi}_\delta < \bar{\xi} < \infty. \end{aligned} \quad (2.3)$$

Величина трения в окрестности точки торможения определяется с помощью аналогии Рейнольдса [4]:  $\tau_w = (\alpha/c_p)_0 u_e(x) \text{Pr}^{2/3}$  ( $\text{Pr}$  — число Прандтля).

При

$$\bar{F} = \frac{d\bar{P}_e}{d\bar{x}} - \bar{N}, \quad \bar{P}_e = \frac{P_e}{P_{e0}}, \quad \bar{r}^k(\bar{x}) = \bar{x}, \quad \bar{P}_e = 1 - \bar{x}^2$$

функции (2.2) принимают вид

$$\bar{\omega}\bar{\chi} = \frac{3}{8}\bar{x}, \quad (\bar{\omega}\bar{\chi}\beta\bar{F})^{1/2} = \frac{\sqrt{3}}{2}\bar{x}, \quad \frac{\bar{\omega}\bar{\chi}}{\beta\bar{F}} = \frac{\sqrt[4]{3}}{2}.$$

В окрестности точки торможения ( $x = 0, y = 0$ ) в газообразном пограничном слое примем

$$\begin{aligned} N &= 0, & u_e &= x \frac{du_e}{dx}, & r^k(x) &= x, \\ \left(\frac{\alpha}{c_p}\right)_w &= \left(\frac{\alpha}{c_p}\right)_0 = \text{const}, & \tau_w &= \left(\frac{\alpha}{c_p}\right)_0 x \left(\frac{du_e}{dx}\right)_0 \text{Pr}^{2/3}, \\ \left(\frac{\alpha}{c_p}\right)_0 &= \frac{q_0}{I_{e0} - I_w} \approx 0,7 \sqrt{\rho_{e0}\mu_{e0}} \left(\frac{du_e}{dx}\right)_0 (\text{Pr}_{e0})^{-2/3}, \\ \tau_0 &\approx \frac{1}{I_{e0} - I_w} q_0 \left(\frac{du_e}{dx}\right)_0 x (\text{Pr}_e)^{2/3}, \end{aligned}$$

где

$$\left(\frac{du_e}{dx}\right)_0 = \frac{1}{R} \sqrt{\frac{2P_{e0}}{\rho_{e0}}}.$$

Для определения давления  $P_{e0}$ , плотности  $\rho_{e0}$ , температуры торможения  $T_{e0}$ , энтальпии  $I_{e0}$  за прямым скачком уплотнения на внешней границе пограничного слоя используем формулы из работы [7], которые могут быть применены в потоке со сравнительно небольшими сверхзвуковыми скоростями, когда изменение удельных теплоемкостей ( $K = c_p/c_v$ ) в сжатом газе пренебрежимо мало (этим скоростям приблизительно соответствуют числа Маха  $M \leq 6$ ):

$$\begin{aligned} P_{e0} &= P_\infty \frac{166,7 M_\infty^2}{(7 - 1/M_\infty^2)^{2,5}}, & \rho_{e0} &= \rho_\infty \left(1 + 5 \frac{P_{e0}/P_\infty - 1}{P_{e0}/P_\infty + 6}\right), \\ T_{e0} &= T_\infty \left(1 + \frac{K-1}{2} M_\infty^2\right), & I_{e0} &= I_\infty \left(1 + \frac{K-1}{2} M_\infty^2\right). \end{aligned}$$

**3. Аналитическое решение редуцированной задачи о плавлении кристаллических материалов.** С учетом наличия пленки расплава и твердого материала (см. рис. 1) решения (2.2) в точке торможения принимают вид

$$\begin{aligned} u &= \frac{\sqrt{3}}{2} \left(\frac{a^0 P_{e0}}{\mu^*}\right)^{1/2} \bar{x} \bar{\Phi}(\bar{\xi}), \\ v &= \frac{(a^0)^{3/4}}{(\mu^*)^{1/4}} \left(\frac{P_{e0}}{R^2}\right)^{1/4} \left[ \frac{2}{\sqrt[4]{3}} \bar{\Omega}(\bar{\xi}) - \frac{\sqrt{27}}{6} \bar{\xi} \bar{\Phi}(\bar{\xi}) \right], \\ T &= T^* \bar{\theta}(\bar{\xi}), & T_1 &= T^* \bar{\theta}_1(\bar{\xi}). \end{aligned} \quad (3.1)$$

Здесь

$$\bar{\xi} = \left(\frac{P_{e0}}{R^2}\right)^{1/4} \frac{2}{\sqrt[4]{3}} \frac{1}{(\mu^* a^0)^{1/4}} y.$$



Решения системы (2.3) при постоянных теплофизических свойствах кристаллических материалов записываются в виде

$$\begin{aligned}\bar{\Phi} &= \frac{1}{2\bar{\mu}\beta} \bar{\xi}^2 + C_1 \bar{\xi} + C_2, & \bar{\Omega} &= -\frac{1}{8} C_1 \bar{\xi}^2 - \frac{1}{2} C_2 \bar{\xi} + C_3, \\ \bar{\theta} &= C_4 + C_5 \int_0^{\bar{\xi}} \exp\left(\frac{1}{a} \int_0^{\xi} \left(\bar{\Omega} - \frac{1}{4} \bar{\xi} \bar{\Phi}\right) dt\right) dt, \\ \bar{\Omega} - \frac{1}{4} \bar{\xi} \bar{\Phi} &= \frac{1}{8\bar{\mu}\beta} \bar{\xi}^3 - \frac{3}{8} C_1 \bar{\xi}^2 - \frac{1}{2} C_2 \bar{\xi} + C_3, \\ \bar{\theta}_1 &= C_6 \exp\left(\frac{\bar{\Omega}_m}{\bar{a}_1} (\bar{\xi} - \bar{\xi}_\delta)\right) + C_7 \quad (\bar{\Omega}_m < 0),\end{aligned}\tag{3.2}$$

где

$$\bar{\xi}_\delta = \left(\frac{P_{e0}}{R^2}\right)^{1/4} \frac{2}{\sqrt[4]{3}} \frac{1}{(\mu^* a^0)^{1/4}} \delta, \quad \bar{\Omega}_m(\bar{\xi}_\delta) = -\frac{1}{8} C_1 \bar{\xi}_\delta^2 - \frac{1}{2} C_2 \bar{\xi}_\delta + C_3.$$

В решениях (3.2) константы интегрирования определяются из (1.3):

$$\begin{aligned}C_1 &= \frac{1}{\sqrt[4]{3} (a^0)^{1/4} (P_{e0})^{3/4} \mu_w(T_w)} R^{3/2} (\mu^*)^{3/4} \left(\frac{\alpha}{c_p}\right)_0 \left(\frac{du_e}{dx}\right)_0 \text{Pr}^{2/3}, & C_2 &= -\frac{1}{\bar{\mu}\beta} \bar{\xi}_\delta^2 + C_1 \bar{\xi}_\delta, \\ C_3 &= -G_w \frac{\sqrt[4]{3}}{2} \left(\frac{R^2}{P_{e0}}\right)^{1/4} \frac{(\mu_w)^{1/4}}{\rho(a_0)^{3/4}}, & C_4 &= \frac{T_w}{T_*}, \\ C_5 &= \frac{T_m - T_w}{T_*} / \int_0^{\bar{\xi}_\delta} \exp\left(\frac{1}{\bar{a}} \int_0^t \left(\bar{\Omega} - \frac{1}{4} t \bar{\Phi}\right) dt\right), & C_6 &= \frac{T_\infty}{T_*}, & C_7 &= \frac{T_m - T_\infty}{T_*}.\end{aligned}$$

Подставляя решения (3.1) в уравнения баланса тепла:

$$\begin{aligned}y = 0: & \quad -\left(\lambda \frac{\partial T}{\partial y}\right)_w - G_w \Delta Q_w + \varepsilon \sigma T_w^4 = q_w, \\ y = \delta: & \quad \left(\lambda \frac{\partial T}{\partial y}\right)_{\delta-0} = \left(\lambda_1 \frac{\partial T_1}{\partial y}\right)_{\delta+0} + H \rho_1 v_m(\delta),\end{aligned}$$

получаем

$$\begin{aligned}-\lambda(T_m - T_w) / \int_0^{\bar{\xi}_\delta} \exp\left(\frac{1}{\bar{a}} \int_0^t \left(\bar{\Omega} - \frac{1}{4} t \bar{\Phi}\right) dt\right) - G_w \Delta Q_w + \varepsilon \sigma T_w^4 &= \left(\frac{\alpha}{c_p}\right)_w (J_e - J_w), \\ G_w &= -\rho v_w,\end{aligned}\tag{3.3}$$

$$\lambda(T_m - T_w) = \left(-\frac{1}{8} C_1 \bar{\xi}_\delta^2 - \frac{1}{2} C_2 \bar{\xi}_\delta + C_3\right) \left(\lambda_1 (T_m - T_\infty) \exp\left(\frac{1}{\bar{a}_1} \bar{\Omega}(\bar{\xi}_\delta)\right) + H \rho_1 a^0\right).$$

Из уравнений (3.3) находим толщину пленки расплава  $\delta$  и температуру  $T_w$ .

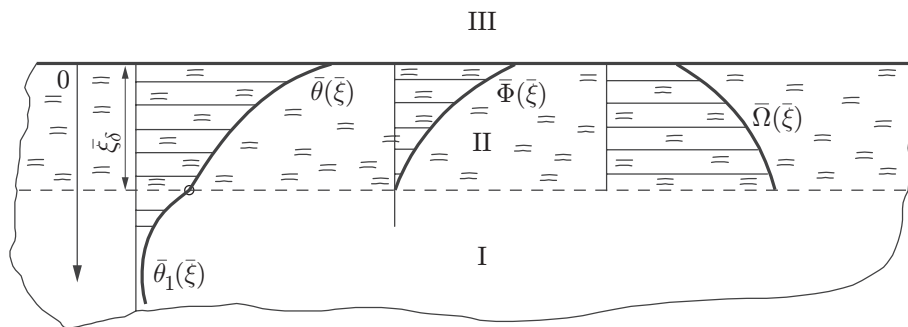


Рис. 3. Решение задачи о плавлении кристаллического материала:  
 I — исходный материал, II — пленка расплава, III — газовый пограничный слой

Основная характеристика, определяющая скорость уноса массы в расплавленном виде, в окрестности точки торможения находится по формуле

$$G_{\Sigma} \equiv \rho v_m = \frac{(a^0)^{3/4}}{(\mu^*)^{1/4}} \left( \frac{P_{e0}}{R^2} \right)^{1/4} \frac{2}{\sqrt[4]{3}} \bar{\Omega}_m(\bar{\xi}_{\delta}),$$

где

$$\bar{\Omega}_m(\bar{\xi}_{\delta}) = -\frac{1}{8} C_1 \bar{\xi}_{\delta}^2 - \frac{1}{2} C_2 \bar{\xi}_{\delta} + C_3, \quad \bar{\xi}_{\delta} = \left( \frac{P_{e0}}{R^2} \right)^{1/4} \frac{2}{\sqrt[4]{3}} \frac{1}{(\mu^* a^0)^{1/4}} \delta,$$

$C_1, C_2, C_3$  определены выше.

Эпюры решения (3.1) представлены на рис. 3.

**Заключение.** В отличие от решений, предложенных в работах [4, 8, 9], при решении уравнений в данной работе выполнено следующее.

1. Исходная система уравнений в частных производных сведена к обыкновенным дифференциальным уравнениям с соответствующими граничными условиями и получены аналитические решения для аморфных и кристаллических материалов.

2. При построении решения не использовалось допущение о постоянстве скорости пленки расплава, так как при решении уравнения энергии учитывается не только поперечная  $v$ , но и продольная  $u$  скорость течения пленки расплава.

Вследствие сказанного выше основное соотношение, определяющее унос массы аморфных материалов (полиэтилена) в расплавленном виде, отличается от соотношения, полученного в работе [8]. В частности, скорость уноса массы на 15–20 % больше, чем в работах [3, 8].

## ЛИТЕРАТУРА

1. Лойцянский Л. Г. Ламинарный пограничный слой. М.: Физматгиз, 1962.
2. Саттон Г. Гидродинамика и теплообмен оплавающейся поверхности // Вопр. ракет. техники. 1958. № 5. С. 37–46.
3. Полежаев Ю. В. Тепловая защита / Ю. В. Полежаев, Ф. Б. Юревич. М.: Энергия, 1976.
4. Бетс Г., Адамс М. Теория абляции стекловидных материалов // Вопр. ракет. техники. 1960. № 2. С. 63–79.

5. **Дружинин Г. В.** Базисные функции в приближенных решениях краевых задач / Г. В. Дружинин, И. М. Закиров, Н. М. Бодунов. Казань: Изд-во “Фен”, 2000.
6. **Овсянников Л. В.** Групповой анализ дифференциальных уравнений. М.: Наука, 1978.
7. **Мхитарян А. М.** Аэродинамика. М.: Машиностроение, 1970.
8. **Горский В. В., Полежаев Ю. В.** О некоторых особенностях, связанных с течением пленки расплава // Теплофизика высоких температур. 1966. Т. 4, № 2. С. 218–227.
9. **Лиз Л.** Параметры подобия в процессе оплавления поверхностей носовой части затупленных тел в высокоскоростном потоке газа // Вопр. ракет. техники. 1960. № 1. С. 40–61.

*Поступила в редакцию 16/VIII 2012 г.,  
в окончательном варианте — 1/II 2013 г.*

---